Invariants analytiques des difféomorphismes et multizêtas

Soutenance de thèse

Olivier Bouillot

19 octobre 2011

Plan.

- Evaluation des invariants holomorphes d'un difféomorphisme tangent à l'identité.
 - Définition du cadre de travail.
 - Définition des invariants holomorphes.
 - Méthodes de calcul des invariants.
 - Comparaison des méthodes.

2 Etude des multitangentes.

- Définition et premières propriétés.
- Réduction en monotangentes.
- La "multitangente attitude".
- Des conjectures.

Présentation du problème.

Soit
$$\mathcal{T} = \left\{ f \in \mathbb{C}\{x\} \; ; \; f(x) = \lambda x + \mathcal{O}(x^2) \; , \; \text{où } \lambda \in \mathbb{C}^* \right\} \; .$$

 $\underline{\mathbf{But}}$: Décrire les classes de conjugaison de $\mathcal T$.

- Cas elliptique : $|\lambda|=1$ et $\lambda=e^{2i\pi\theta}$, $\theta\not\in\mathbb{Q}$. Il existe une condition diophantienne, optimale, dûe à Bryuno, qui garantit la linéarisation analytique de tous les f commençant par λ . (Siegel pour une condition non optimale, Bryuno pour l'optimalité et la suffisance, Rüssman, Yoccoz pour l'optimalité et la nécessité, Perez-Marco)
- Cas parabolique : $|\lambda| = 1$ et $\lambda = e^{2i\pi \frac{P}{q}}$. $f \in \mathcal{T}$ n'est pas conjugué à $x \longmapsto \lambda x$ (sauf si f est d'ordre fini) .

Difféomorphisme tangent à l'identité.

■ A l'infini, tout difféomorphisme tangent à l'identité est formellement conjugué à : $z \longmapsto z + z^{1-p} - \rho z^{1-2p}$, où $p \in \mathbb{N}^*$ et $\rho \in \mathbb{C}$.

p et ρ sont les deux invariants formels.

■ On s'intéresse à la classe type : $(p; \rho) = (1; 0)$, i.e.

$$f(z) = z + 1 + \mathcal{O}\left(\frac{1}{z^2}\right) .$$

On pose aussi $I: z \longmapsto z+1$.

Définition des invariants de f.

$$\blacksquare \exists f^* \in z + \mathbb{C} \left[\frac{1}{z} \right] , f^* \circ f = I \circ f^* .$$

$$\exists^* f \in z + \mathbb{C}\left[\left[\frac{1}{z}\right]\right]$$
 , $f \circ {}^* f = {}^* f \circ I$.

 \blacksquare $\pi_f^+ = f_+^* \circ {}^*f_-$ commute avec I et est invariante par conjugaison.

Définition:

Les invariants de f, notés $(A^+_{2in\pi}(f))_{n\in\mathbb{Z}^*}$, sont les coefficients de Fourier de $\pi^+_f-id_\mathbb{C}$.

Passage dans le plan de Borel.

Pourquoi travailler dans le plan de Borel ?

- Dans le plan multiplicatif, il est nécessaire de faire de l'analyse de Fourier. Dans le plan de Borel, les invariants seront localisés en un point.
- Le passage au plan de Borel permet de traiter divers sur-groupe de T (à croissance Gevrey 2 par exemple), qui n'ont plus aucune interprétation dans le plan multiplicatif mais qui possèdent néanmoins des classes de conjugaisons non-triviales et des invariants en tout point analogues à ceux des difféomorphismes analytiques.
- Le passage au plan de Borel nous fournira deux des quatre méthodes de calcul numérique que nous allons exposer.

Rappels sur la résurgence.

Singularités simples.

Soit $\widehat{\varphi}$, holomorphe sur un disque ouvert D.

 $\widehat{\varphi}$ possède une singularité simple en un point ω adhérent à D lorsque :

$$\widehat{\varphi}(\zeta) \underset{(\zeta \longrightarrow \omega)}{=} \frac{C}{2i\pi(\zeta - \omega)} + \frac{1}{2i\pi} \widehat{\Phi}(\zeta - \omega) \log(\zeta - \omega) + \operatorname{reg}(\zeta - \omega).$$

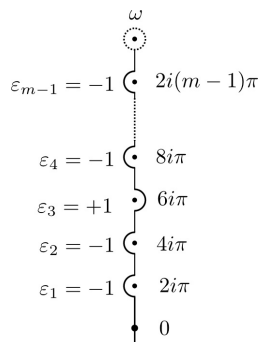
On notera cette égalité sous la forme :

$$\operatorname{sing}_{\omega}\widehat{\varphi}=\mathit{C}\delta+\widehat{\Phi}\in\mathbb{C}\delta\oplus\mathbb{C}\{\zeta\}\ .$$

Rappels sur la résurgence (suite) .

Prolongement sans fin.

Un germe φ de fonction holomorphe en 0 se prolonge sans fin sur $\mathbb C$ lorsque, pour toute ligne brisée finie L, il existe un ensemble fini $\Omega_L \subset L$ de singularités tel que φ se prolonge analytiquement le long de tous les chemins possibles obtenus en suivant L et en contournant chaque point de Ω_L soit à gauche, soit à droite.



Rappels sur la résurgence (fin) .

Fonctions résurgentes dans le modèle convolutif.

Les fonctions résurgentes sont les germes en 0 de fonctions holomorphes se prolongeant sans fin sur $\mathbb C$ et à singularités simples.

Fonctions résurgentes dans le modèle formel.

Dans le modèle formel, les fonctions résurgentes sont les séries formelles de $\frac{1}{z}\mathbb{C}\left[\frac{1}{z}\right]$ dont la transformée de Borel est une fonction résurgente dans le modèle convolutif.

<u>Notation :</u> On note RES l'ensemble des fonctions résurgentes dans l'un ou l'autre des modèles.

Exemples : f^* est f^* sont résurgentes : leurs transformées de Borel sont définies uniformes sur $\mathbb{C} - 2\pi i \mathbb{Z}$.

Rappels sur les dérivées étrangères.

Pour tout $\omega\in 2i\pi\mathbb{Z}^*$, on définit une dérivation, par rapport à la convolution, "mesurant" les singularités au voisinage de ω :

$$\Delta_{\omega}: \mathsf{RES} \longrightarrow \mathsf{RES} \; ,$$

$$\forall \omega \in 2i\pi\mathbb{Z}^* \;,\; \Delta_{\omega}(\widehat{\varphi}) = \sum_{\varepsilon = (\varepsilon_{\pm 1}; \cdots; \varepsilon_{\pm (m-1)}) \in \{+1; -1\}^{|m|-1}} \frac{p(\varepsilon)! \; q(\varepsilon)!}{m!} \mathsf{sing}_{\omega}(\mathsf{cont}_{\gamma(\varepsilon)}\widehat{\varphi}) \;.$$

Plus simplement, on définit $\Delta_{\omega}^+: RES \longrightarrow RES$ en ne considérant que des contournements par la droite : ce n'est plus une dérivation.

Propriété:
$$\forall \omega \in 2i\pi \mathbb{Z}^*$$
, $\Delta_{\omega}^{+*} f = A_{\omega}^+ \partial_z^* f$.

Problématique.

Problématique : Calculer numériquement les $A^+_{2in\pi}(f)$ pour $n \in \mathbb{Z}^*$.

■ Méthode 0 : Analyse de Fourier dans le plan multitplicatif.

$$A_{2in\pi}^+(f) = \lim_{p \longrightarrow +\infty} \int_{[z;z+1]} \left(I^{\circ(-p)} \circ I^{\circ(2p)} \circ I^{\circ(-p)}(z) - z \right) e^{-2in\pi z} \ dz \ .$$

Numériquement, c'est très mauvais.

- <u>Méthode 1</u>: Asymptotique des coefficients.
- <u>Méthode 2</u>: Analyse résurgente dans le plan de Borel et transformation conforme.
- Méthode 3 : Méthode universelle.

Méthode 1 : Asymptotique des coefficients.

Soit $\widehat{\varphi}$ un germe de fonction holomorphe en 0, prolongeable sur un disque de rayon $r=|\omega|$, où ω est une singularité de $\widehat{\varphi}$ supposée unique.

Exprimons $\widehat{\varphi}$ sous la forme :

$$\widehat{\varphi}(\zeta) = \sum_{n \geq 0} J(n) \zeta^n .$$

Supposons que les coefficients $\mathit{J}(n)$ admettent le développement asymptotique :

$$J(n)=e^{-n
u_0}J_{
u_0}(n)+oig(e^{-n
u_0}J_{
u_0}(n)ig)$$
 , où $J_{
u_0}(n)\in\mathbb{C}\left[\left[rac{1}{n}
ight]\right]$.

Alors:

$$\widehat{arphi}(\zeta) = \widehat{J}_
u\left(\log\left(1+rac{\zeta}{\zeta_0}
ight)
ight) \;.$$

Méthode 1 : Asymptotique des coefficients (fin) .

Application :

Cela permet de calculer la première paire d'invariants holomorphes avec une excellente précision.

Exemple :

Pour
$$f(z)=z+1+rac{1}{10z^2}$$
 , on trouve :
$$A_1 \quad \approx \quad -14.91351103557842215407015963733918802397 \cdots \\ -7.429352270694850476346650109888076885387 \cdots i \; .$$

On obtient environ 60 décimales en 20 minutes de calculs, avec Maple.

Méthode 2 : Analyse résurgente dans le plan de Borel et transformation conforme.

- Les itérateurs direct et reciproque $f^*(z)$ et $^*f(z)$ ont des transformées de Borel $f^*(\zeta)$ et $^*f(\zeta)$ qui sont définies uniformes sur la surface de Riemann $\mathcal{R} = \mathbb{C} 2\pi i \mathbb{Z}$.
- L'application remarquablement explicite :

$$w \mapsto -\log(1-\lambda(w)) = 16 \sum_{\substack{n \text{ impair} \ge 1}} \mu_n e^{2\pi i n w} \text{ avec}$$
 $\lambda = \text{ fonction modulaire } ; \quad \mu_n := \sum_{\substack{d \mid n}} \frac{1}{d} = \frac{1}{n} \sum_{\substack{d \mid n}} d$

envoie conformément le demi-plan de Poincaré $\mathcal{P} = \{\Im(w) > 0\}$ sur \mathcal{R} .

Méthode 2 : Analyse résurgente dans le plan de Borel et transformation conforme (suite) .

■ Sur \mathcal{P} les dérivations étrangères Δ_{ω} d'indice $\omega \in 2\pi i \mathbb{Z}^*$ revêtent une forme très simple:

$$orall arphi$$
 : $\Delta_{\omega}.arphi \equiv \sum_{j} arphi \circ extstyle extst$

avec des homographies entières $h_{\omega,j} \in Sl_2(\mathbb{Z})$.

- Inconvénient : Si ω est grand, $\inf_{j,w}\Im(h_{\omega,j}(w))$ est petit, ce qui force à approcher la frontière de \mathcal{P} , où les calculs sont coûteux.
- Précision à escompter :

n	nombre de coeff de f* ou*f		précision de $A_{\pm 2\pi in}$
1	200		80 décimales
2	400		70 décimales
3	600		65 décimales
	•••	ĺ	

Méthode 3 : Notations.

- Notons $\mathbb{N}_k = \{n \in \mathbb{N} : n \ge k\}$, pour $k \in \mathbb{N}$.
- ullet seq(E) désigne l'ensemble des séquences finies dont les éléments sont dans l'ensemble E .
- La séquence vide est notée ∅ .

- Notons f sous la forme $f(z) = z + 1 + \sum_{n \ge 3} \frac{a_n}{z^{n-1}}$.
- A_{ullet} défini sur seq(\mathbb{N}_3) par : $A_{\underline{s}} = a_{s_1} \cdots a_{s_r}$. $A_{\underline{\bullet}}$ défini sur seq(seq(\mathbb{N}_3) { \emptyset }) par : $A_{\underline{s}} = A_{\underline{s}^1} \cdots A_{\underline{s}^r}$.

Méthode 3 : Définitions des multizêtas et des multitangentes.

On note :
$$\mathcal{S}_d^\star = \{\underline{\mathbf{s}} \in \operatorname{seq}(\mathbb{N}^*) \; ; \; s_1 \geq 2\} \; .$$

$$\mathcal{S}_{df}^\star = \{\underline{\mathbf{s}} \in \operatorname{seq}(\mathbb{N}^*) \; ; \; s_1 \geq 2 \; \text{et} \; s_r \geq 2\} \; .$$

Définition des multizêtas.

Soit
$$\underline{\mathbf{s}} \in \mathcal{S}_d^{\star}$$
 .

On pose :
$$\mathcal{Z}e^{\underline{s}} = \sum_{1 \leq n_r < \dots < n_1 < +\infty} \frac{1}{n_1^{s_1} \cdots n_r^{s_r}}$$
.

Définition des multitangentes.

Soit
$$\mathbf{s} \in \mathcal{S}_{df}^{\star}$$
 .

On pose :
$$\forall z \in \mathbb{C} - \mathbb{Z}$$
 , $\mathcal{T}e^{\underline{s}}(z) = \sum_{-\infty < n_r < \dots < n_1 < +\infty} \frac{1}{(n_1 + z)^{s_1} \cdots (n_r + z)^{s_r}}$.

$$\mbox{On note alors}: \left\{ \begin{array}{l} \mathcal{M} ZV = \textit{Vect}_{\mathbb{Q}}(\mathcal{Z}e^{\underline{s}})_{\underline{s} \in \mathcal{S}_{+}^{\bullet}} \ . \\ \\ \mathcal{M} \textit{TGF} = \textit{Vect}_{\mathbb{Q}}(\mathcal{T}e^{\underline{s}})_{\underline{s} \in \mathcal{S}^{\star}} \ . \end{array} \right.$$

Méthode 3 : Méthode universelle.

On développe chaque $A_n^+(f)$ comme fonction entière de f, i.e. de l'infinité des coefficients de Taylor de f :

Théorème : Soit f un difféomorphisme tangent à l'identité, convergent, s'exprimant à l'infini sous la forme $f(z) = z + 1 + \sum_{n \geq 1} \frac{a_n}{z^{n-1}}$.

Alors:

II existe des coefficients τ^{\bullet} , explicites, définis sur seq(seq(\mathbb{N}_3) - { \emptyset }), à valeurs dans l'algèbre $\mathcal{M}TGF$ tels que :

$$\pi_{\mathrm{f}}^{+} = \sum_{\mathbf{S} \in \mathrm{seq}(\mathrm{seq}(\mathbb{N}_{3}) - \{\emptyset\})} \tau^{\underline{\mathbf{S}}} \mathcal{A}_{\underline{\mathbf{S}}} \ .$$

Pour tout $n \in \mathbb{Z}^*$, il existe des coefficients $\widehat{\tau}_n^{\bullet}$, explicites, définis sur seq(seq(\mathbb{N}_3) - { \emptyset }) à valeurs dans l'algèbre $\mathcal{M}ZV$ tels que :

$$\forall n \in \mathbb{Z}^*, \ A_n^+(f) = \sum_{\mathbf{S} \in \mathsf{seq}(\mathtt{Seq}(\mathbb{N}_2) - \{\emptyset\})} \widehat{\tau}_n^{\underline{\mathbf{S}}} A_{\underline{\mathbf{S}}} \ .$$

Méthode 3 : Exemple de calculs d'invariants.

■ Choix d'une fonction d'épreuve à un paramètre :

$$f = I \circ g \text{ avec} \quad f(z) = z + 1 + \frac{\alpha}{z^2} + \mathcal{O}(z^{-3}) \quad ,$$
 où :
$$I(z) = z + 1 \quad .$$

$$g(z) = \left(\exp(\alpha z^{-2} \partial_z) \right) \cdot z = z \left(1 + 3 \alpha z^{-3} \right)^{1/3} \, .$$

Posant $\sigma: z \mapsto -z$, on voit qu'ici $\sigma \circ f \circ \sigma$ est conjugué à f^{-1} . Donc $\pi_f^+ - id_{\mathbb{C}}$ est paire, i.e. π_f^+ s'exprimera en fonction des seules monotangentes *paires*

$$\mathcal{T}e^{s_1}(z) = \sum_{n \in \mathbb{Z}} \frac{1}{(z+n)^{s_1}}$$
, avec s_1 pair.

Méthode 3 : Exemple de calculs d'invariants.

 \blacksquare π_f^+ en fonction des multitangentes :

$$\begin{split} \pi_f^+ &= +\alpha \cdot \mathcal{T} a^2 \\ &- \alpha^2 \cdot \left(2 \mathcal{T} a^{3,2} \right) \\ &+ \alpha^3 \cdot \left(4 \mathcal{T} a^{3,3,2} + 6 \mathcal{T} a^{4,2,2} \right) \\ &- \alpha^4 \cdot \left(8 \mathcal{T} a^{3,3,3,2} + 12 \mathcal{T} a^{3,4,2,2} + 12 \mathcal{T} a^{4,2,3,2} + 24 \mathcal{T} a^{4,3,2,2} + 24 \mathcal{T} a^{5,2,2,2} \right) \\ &+ \mathcal{O}(\alpha^5) \end{split}$$

Méthode 3 : Exemple de calculs d'invariants (suite) .

 \blacksquare π_f^+ en fonction des monotangentes et des multizêtas non réduits :

$$\begin{split} \pi_f^+ = & +\alpha \cdot \mathcal{T}e^2 \\ & +\alpha^2 \mathcal{T}e^2 \cdot \left(-6\,\zeta(3)\right) \\ & +\alpha^3 \cdot \mathcal{T}e^2 \cdot \left(+26\,\zeta(6)+2\,\zeta(4,2)-16\,\zeta(2,4)+36\,\zeta(3,3)\right) \\ & +\alpha^3 \cdot \mathcal{T}e^4 \cdot \left(+\zeta(4)-2\,\zeta(2,2)\right) +\alpha^3 \cdot \mathcal{T}e^6 \cdot \left(-\frac{1}{3}\,\zeta(2)\right) \\ & +\alpha^4 \cdot \mathcal{T}e^2 \cdot \left(-86\,\zeta(9)+52\,\zeta(5,4)+68\,\zeta(7,2)-34\,\zeta(4,5)\right) \\ & -156\,\zeta(3,6)+224\,\zeta(2,7)-246\,\zeta(6,3)-16\,\zeta(4,3,2) \\ & +56\,\zeta(5,2,2)-216\,\zeta(3,3,3)+96\,\zeta(3,2,4)-12\,\zeta(4,2,3) \\ & +64\,\zeta(2,3,4)-12\,\zeta(3,4,2)+64\,\zeta(2,5,2)+96\,\zeta(2,4,3)\right) \\ & +\alpha^4 \cdot \mathcal{T}e^4 \cdot \left(+2\,\zeta(7)+34\,\zeta(2,5)+30\,\zeta(5,2)-10\,\zeta(3,4)-18\,\zeta(4,3)\right) \\ & +12\,\zeta(2,2,3)+16\,\zeta(2,3,2)+20\,\zeta(3,2,2)\right) \\ & +\alpha^4 \cdot \mathcal{T}e^6 \cdot \left(+\frac{13}{3}\,\zeta(5)+4\,\zeta(2,3)+\frac{14}{3}\,\zeta(3,2)\right) \\ & +\mathcal{O}(\alpha^5) \end{split}$$

Méthode 3 : Exemple de calculs d'invariants (suite) .

 \blacksquare π_f^+ en fonction des monotangentes et des multizêtas réduits :

$$\begin{split} \pi_f^+ = & + \alpha \cdot \mathcal{T}e^2 \cdot \qquad \qquad + \alpha^2 \cdot \mathcal{T}e^2 \cdot \left(- 6\,\zeta(3) \right) \\ & + \alpha^3 \cdot \mathcal{T}e^2 \cdot \left(-\frac{32}{5}\zeta(2)^3 + 36\,\zeta(3)^2 \right) + \alpha^3 \cdot \mathcal{T}e^4 \cdot \left(-\frac{1}{5}\zeta(2)^2 \right) \\ & + \alpha^3 \cdot \mathcal{T}e^6 \cdot \left(-\frac{1}{3}\zeta(2)^2 \right) \\ & + \alpha^4 \cdot \mathcal{T}e^2 \cdot \left(\frac{576}{5}\zeta(3)\zeta(2)^3 - 216\,\zeta(3)^3 - 210\,\zeta(9) \right) \\ & + \alpha^4 \cdot \mathcal{T}e^4 \cdot \left(14\,\zeta(7) + \frac{18}{5}\zeta(3)\zeta(2)^2 \right) \\ & + \alpha^4 \cdot \mathcal{T}e^6 \cdot \left(6\,\zeta(2)\zeta(3) - \frac{10}{3}\zeta(5) \right) \\ & + \mathcal{O}(\alpha^5) \end{split}$$

Méthode 3 : Exemple de calculs d'invariants (fin) .

Les invariants $A_{\pm 2\pi i}(f)$ comme fonctions entières du paramètre lpha :

$$A_{\pm 2\pi i}(f)=\sum_{n\in\mathbb{N}^*}c_n\alpha^n$$
 est une fonction entière de l'unique paramètre α , de type exponentiel en $\alpha^{1/2}$.

Ses 12 premiers coefficients, de signes alternés, valent :

```
c_1 = -39.4784176043574344753...
c_2 = +284.7318264428106410205...
c_3 = -788.4456763395103611766...
c_4 = +1183.670897479215553310...
c_5 = -1124.013101882737214516...
c_6 = +738.577609773162031453...
c_7 = -356.388791016996809...
c_8 = +131.76870562724...
c_9 = -38.5440209553...
c_{10} = +9.1457604...
c_{11} = -1.796...
c_{12} = +0.3...
```

Comparaison des méthodes.

Calcul de $A_{2in\pi}^+(f)$	Dépendance en f .	Dépendance en <i>n</i> . Paramètr	
Méthode 0	Ø	Ø	Ø
Méthode 1	+	_	_
Méthode 2	+	_	_
Méthode 3	_	+	+

Calcul de $A_{2in\pi}^+(f)$	$\rho \neq 0$.	$p \ge 1$.
Méthode 0	Ø	Ø
Méthode 1	+	+
Méthode 2	+	+
Méthode 3	+	_

Liens entre les deux parties.

Pourquoi étudier les relations entre multitangentes ?

- Les multitangentes (resp. multizêtas) sont l'unique ingrédient transcendant entrant dans la construction des invariants holomorphes π_f^+ (resp. $A_\omega(f)$). Il s'agit donc de comprendre quelles sont précisément les propriétés des multitangentes et multizêtas qui sont responsables de cette invariance.
- Il existe des analogies manifestes entre multitangentes et multizêtas, qui sont définis par des sommes analogues et vérifient une même table de multiplication.

Liens entre les deux parties (suite).

Appelons **multizêtas dynamiques** toute famille de nombres qui, substitués aux *'vrais' multizêtas*, préservent l'invariance des $A_{\omega}(f)$.

Appelons multizêtas dimorphiques toute famille de nombres satisfaisant aux deux classiques familles de "relations quadratiques" qui sont vérifiées par les 'vrais' multizêtas et qui, de l'avis général, paraissent épuiser la totalité de leur arithmétique.

Il se trouve:

- que les propriétés des multizêtas dynamiques sont plus faibles que celles des multizêtas dimorphiques.
- que les dites propriétés des multizêtas dynamiques sont précisément celles qui se déduisent de leurs analogues chez les multitangentes.
- que les multizêtas dynamiques et les multizêtas dimorphiques constituent deux Q-anneaux engendrés chacun par une famille dénombrable d'irréductibles, mais avec des irréductibles dynamiques plus 'nombreux' (car sujets à moins de contraintes) et plus faciles à décrire que les irréductibles dimorphiques.

Plan.

- 1 Evaluation des invariants holomorphes d'un difféomorphisme tangent à l'identité.
 - Définition du cadre de travail.
 - Définition des invariants holomorphes.
 - Méthodes de calcul des invariants.
 - Comparaison des méthodes.

2 Etude des multitangentes.

- Définition et premières propriétés.
- Réduction en monotangentes.
- La "multitangente attitude".
- Des conjectures.

Définitions des multizêtas et des multitangentes.

On note :
$$\mathcal{S}_d^\star = \{\underline{\mathbf{s}} \in \operatorname{seq}(\mathbb{N}^*) \; ; \; s_1 \geq 2\} \; .$$

$$\mathcal{S}_{df}^\star = \{\underline{\mathbf{s}} \in \operatorname{seq}(\mathbb{N}^*) \; ; \; s_1 \geq 2 \; \text{et} \; s_r \geq 2\} \; .$$

Définition des multizêtas.

Soit
$$\mathbf{s} \in \mathcal{S}_d^{\star}$$
 .

On pose :
$$\mathcal{Z}e^{\underline{s}} = \sum_{1 \leq n_r < \dots < n_1 < +\infty} \frac{1}{n_1^{s_1} \cdots n_r^{s_r}}$$
.

Définition des multitangentes.

Soit
$$\underline{\mathbf{s}} \in \mathcal{S}_{df}^{\star}$$
 .

On pose :
$$\forall z \in \mathbb{C} - \mathbb{Z}$$
 , $\mathcal{T}e^{\underline{s}}(z) = \sum_{-\infty < n_r < \cdots < n_1 < +\infty} \frac{1}{(n_1 + z)^{s_1} \cdots (n_r + z)^{s_r}}$.

Premières propriétés des multitangentes.

Propriété:

Propriété de différentiabilité.

La fonction $\mathcal{T}e^{\underline{s}}$ est holomorphe sur $\mathbb{C}-\mathbb{Z}$ pour toute séquence $\underline{s}\in\mathcal{S}_{df}^{\star}$; elle converge uniformément sur tout compact de $\mathbb{C}-\mathbb{Z}$ et vérifie, pour tout $\mathbf{s}\in\mathcal{S}_{df}^{\star}$:

$$\frac{\partial \mathcal{T}e^{\underline{s}}}{\partial z} = -\sum_{i=1}^{r} s_i \mathcal{T}e^{s_1, \dots, s_{i-1}, s_i + 1, s_{i+1}, \dots, s_r}.$$

Propriété de parité.

$$\forall z \in \mathbb{C} - \mathbb{Z} \ , \ \forall \underline{\mathbf{s}} \in \mathcal{S}_{df}^{\star} \ , \ \mathcal{T}e^{\underline{\mathbf{s}}}(-z) = (-1)^{||\underline{\mathbf{s}}||} \mathcal{T}e^{\overleftarrow{\underline{\mathbf{s}}}}(z) \ .$$

Loi de multiplication.

$$\forall (\underline{u}\,;\underline{v}) \in (\mathcal{S}_{\mathit{df}}^{\star})^2 \;,\; \exists \textit{E}(\underline{u}\,;\underline{v}) \subset \mathcal{S}_{\mathit{df}}^{\star} \; \mathsf{fini} \;,\; \mathcal{T} e^{\underline{u}}\,\mathcal{T} e^{v} = \sum_{w \in \textit{E}(u\,;\,v)} \mathcal{T} e^{\underline{w}} \;.$$

Renormalisation des multitangentes.

Propriété : Renormalisation des multizêtas.

Soit $\theta \in \mathbb{C}$.

Il existe une unique extension des multizêtas à $seq(\mathbb{N}^*)$ telle que :

- 1. $\mathcal{Z}e^{\bullet}$ satisfait toujours la même loi de multiplication (issue des séries) .
- 2. $\mathcal{Z}e^1=\theta$.

Propriété : Renormalisation des multitangentes.

Il existe une extension des multitangentes à $seq(\mathbb{N}^*)$ telle que :

- 1. $\mathcal{T}e^{\bullet}$ satisfait toujours la même loi de multiplication (issue des séries) .
- 2. $\forall z \in \mathbb{C} \mathbb{Z}$, $\mathcal{T} e^1(z) = \frac{\pi}{\mathsf{tan}(\pi z)}$.

L'extension vérifie automatiquement : la propriété de différentiabilité.

la propriété de parité.

Réduction en monotangentes, version 1.

 $\textbf{Remarque:} \qquad \text{Une monotangente est une multitangente de longueur 1} \ .$

Notons :
$$\mathcal{M}ZV = \mathsf{Vect}_{\mathbb{Q}} \left(\mathcal{Z} e^{\underline{\mathbf{s}}} \right)_{\underline{\mathbf{s}} \in \mathcal{S}_d^{\star}}$$
.
$$m(\underline{\mathbf{s}}) = \mathsf{max}(s_1\,;\cdots;s_r), \ \mathsf{pour} \ \mathsf{tout} \ \underline{\mathbf{s}} \in \mathsf{seq}(\mathbb{N}^*) \ .$$

Propriété : Réduction en monotangentes des multitangentes convergentes.

$$\forall \underline{s} \in \mathcal{S}_{df}^{\star} \ , \ \exists (z_1\,;\cdots;z_{m(\underline{s})}) \in \mathcal{M} ZV^{m(\underline{s})} \ , \ \mathcal{T} e^{\underline{s}} = \sum_{k=1}^{m(\underline{s})} z_k \mathcal{T} e^k \ .$$

Propriété : Réduction en monotangentes des multitangentes convergentes.

$$\forall \underline{s} \in \mathcal{S}_{df}^{\star} \ , \ \exists (z_2\,; \cdots; z_{m(\underline{s})}) \in \mathcal{M}ZV^{m(\underline{s})-1} \ , \ \mathcal{T}e^{\underline{s}} = \sum_{k=2}^{m(\underline{s})} z_k \mathcal{T}e^k \ .$$

Eléments de démonstration :

- 1. Décomposition en éléments simples de $\frac{1}{(p_1 + X)^{s_1} \cdots (p_r + X)^{s_r}}$.
- 2. Utilisation de la seconde table de multitplication des multizêtas.

Exemples de réduction de multitangentes convergentes en monotangentes.

$$\begin{split} \mathcal{T}e^{2,4} &= \frac{8}{5}\,\zeta(2)^2\mathcal{T}e^2 - 2\zeta(3)\mathcal{T}e^3 + \zeta(2)\mathcal{T}e^4 \;. \\ \mathcal{T}e^{3,3} &= -\frac{12}{5}\,\zeta(2)^2\mathcal{T}e^2 \;. \\ \mathcal{T}e^{4,2} &= \frac{8}{5}\,\zeta(2)^2\mathcal{T}e^2 + 2\zeta(3)\mathcal{T}e^3 + \zeta(2)\mathcal{T}e^4 \;. \\ \mathcal{T}e^{2,2,2} &= \frac{8}{5}\,\zeta(2)^2\mathcal{T}e^2 \;. \\ \mathcal{T}e^{2,1,3} &= -\frac{2}{5}\zeta(2)^2\mathcal{T}e^2 + \zeta(3)\mathcal{T}e^3 \;. \\ \mathcal{T}e^{3,1,2} &= -\frac{2}{5}\zeta(2)^2\mathcal{T}e^2 - \zeta(3)\mathcal{T}e^3 \;. \\ \mathcal{T}e^{2,1,1,2} &= \frac{4}{5}\zeta(2)^2\mathcal{T}e^2 \;. \end{split}$$

Réduction en monotangentes, version 2.

Propriété : Réduction en monotangentes.

$$\forall \underline{\mathbf{s}} \in \mathsf{seq}(\mathbb{N}^*) \;,\; \exists (z_1\,;\cdots\,;z_{m(\underline{\mathbf{s}})}) \in \mathcal{M}ZV^{m(\underline{\mathbf{s}})} \;,\; \mathcal{T}\mathrm{e}^{\underline{\mathbf{s}}} = \delta^{\underline{\mathbf{s}}} + \sum_{k=1}^{m(\underline{\mathbf{s}})} z_k \mathcal{T}\mathrm{e}^k \;,$$

$$\mathsf{où} \left\{ \begin{array}{l} \delta^{\underline{\mathbf{s}}} = \left\{ \begin{array}{c} (i\pi)^r \\ r! \end{array} \right. \;,\; \mathsf{si}\; \underline{\mathbf{s}} = \mathbf{1}^{[r]} \; \mathsf{et}\; \mathsf{si}\; r \; \mathsf{est}\; \mathsf{pair}. \\ 0 \qquad ,\; \mathsf{sinon}. \\ z_1 = 0 \iff \delta^{\underline{\mathbf{s}}} = 0 \;. \end{array} \right.$$

Exemples de réduction de multitangentes convergentes en monotangentes.

$$\begin{split} \mathcal{T}e^{1,1} &= -3\,\zeta(2)\;.\\ \mathcal{T}e^{1,1,1} &= -\zeta(2)\mathcal{T}e^1\;.\\ \mathcal{T}e^{1,4} &= \zeta(3)\mathcal{T}e^2 - \zeta(2)\mathcal{T}e^3\;.\\ \mathcal{T}e^{4,1} &= -\zeta(3)\mathcal{T}e^2 - \zeta(2)\mathcal{T}e^3\;.\\ \mathcal{T}e^{1,1,3} &= \zeta(3)\mathcal{T}e^2 - \frac{1}{2}\zeta(2)\mathcal{T}e^3\;.\\ \mathcal{T}e^{1,2,2} &= -2\,\zeta(3)\mathcal{T}e^2\;.\\ \mathcal{T}e^{1,3,1} &= 0\;.\\ \mathcal{T}e^{2,2,1} &= 2\,\zeta(3)\mathcal{T}e^2\;.\\ \mathcal{T}e^{3,1,1} &= -\zeta(3)\mathcal{T}e^2 - \frac{1}{2}\zeta(2)\mathcal{T}e^3\;.\\ \end{split}$$

La "multitangente attitude".

La "multitangente attitude" :

Il existe des liens très forts entre les multizêtas et les multitangentes :

chaque résultat (arithmétique) sur les multizêtas semble se traduire en un résultat sur les multitangentes et réciproquement. Exemple de l'absence de composante $\mathcal{T}e^1$ dans la réduction en monotangentes.

■ Toute multitangente convergente est exponentiellement plate.

11

La composante $\mathcal{T}e^1$, dans la réduction en monotangentes, est nulle.

2 On dispose d'une expression intégrale des multizêtas.

1

Les multizêtas suivent une loi de multiplication relativement à la représentation intégrale.



La composante Te^1 , dans la réduction en monotangentes, est nulle.

Caratérisation des multitangentes nulles.

Conjecture 1 : Multitangentes nulles.

Soit
$$\underline{\boldsymbol{s}} \in \mathcal{S}_{\textit{df}}^{\star}$$
 .

$$\label{eq:Alors:Test} \mbox{Alors}: \mathcal{T} \mbox{e}^{\underline{\underline{s}}} = 0 \iff \left\{ \begin{array}{l} \underline{\underline{s}} = \overleftarrow{\underline{s}} \ . \\ ||\underline{\underline{s}}|| \mbox{ est impair } . \\ \underline{\underline{s}} \in \mbox{seq} \big(\big\{ 1 \, ; 2 \big\} \big) \ . \end{array} \right.$$

Exemple : $\mathcal{T}e^{2,1,2}=0$.

$$\rrac{r}{r}$$
 Faux, si $\underline{\mathbf{s}} \in \mathsf{seq}(\mathbb{N}^*) - \mathcal{S}_{\mathsf{df}}^{\star}$:

$$\mathcal{T}e^{1,1,1} = -\zeta(2)\mathcal{T}e^1$$
.

$${\cal T}e^{1,3,1} \ = \ 0 \; .$$

Nettoyage des 1 pour les multitangentes.

Conjecture 2 : Nettoyage des 1.

Soit $\underline{\mathbf{s}} \in \mathsf{seq}(\mathbb{N}^*)$.

Alors:

$$\exists m \in \mathbb{N}^* \ , \ \exists (r_1; \cdots; r_m) \in \mathbb{Q}^m \ , \ \exists (\underline{s}^1; \cdots; \underline{s}^m) \in \mathsf{seq}(\mathbb{N}_2)^m \ , \ \mathcal{T}e^{\underline{s}} = \sum_{k=1}^m r_k \mathcal{T}e^{\underline{s}^k} \ .$$

Exemples de nettoyage de 1.

$$\mathcal{T}e^{3,1,2} = \frac{1}{6}\mathcal{T}e^{3,3} + \frac{1}{4}\mathcal{T}e^{2,4} - \frac{1}{4}\mathcal{T}e^{4,2} .$$

$$p = 6 \qquad \mathcal{T}e^{2,1,3} = \frac{1}{6}\mathcal{T}e^{3,3} - \frac{1}{4}\mathcal{T}e^{2,4} + \frac{1}{4}\mathcal{T}e^{4,2} .$$

$$\mathcal{T}e^{2,1,1,2} = -\frac{1}{3}\mathcal{T}e^{3,3} .$$

$$\mathcal{T}e^{4,1,2} = \frac{1}{6}\mathcal{T}e^{2,2,3} - \frac{1}{6}\mathcal{T}e^{3,2,2} - \frac{1}{3}\mathcal{T}e^{5,2} + \frac{7}{48}\mathcal{T}e^{4,3} + \frac{23}{48}\mathcal{T}e^{3,4} + \frac{1}{3}\mathcal{T}e^{2,5}$$

$$p = 7 \qquad \mathcal{T}e^{3,1,3} = \frac{1}{5}\mathcal{T}e^{2,3,2} .$$

$$\mathcal{T}e^{2,1,4} = \frac{1}{3}\mathcal{T}e^{3,2,2} + \frac{1}{3}\mathcal{T}e^{5,2} + \frac{13}{24}\mathcal{T}e^{4,3} + \frac{5}{24}\mathcal{T}e^{3,4} - \frac{1}{3}\mathcal{T}e^{2,5} .$$

Une autre conjecture autour du nettoyage des 1.

Conjecture 3 : Second lien entre multizêtas et multitangentes.

$$\forall \underline{s} \in \mathcal{S}_{d}^{\star} \ , \ \mathcal{Z}e^{\underline{s}}\mathcal{T}e^{2} \in \mathsf{Vect}_{\mathbb{Q}}\left(\mathcal{T}e^{\underline{\sigma}}\right)_{\underline{\sigma} \in \mathcal{S}_{df}^{\star}} \ .$$

$$||\underline{\mathbf{s}}|| = 6$$

$$||\mathbf{s}|| = 7$$

Absence de Q-combinaison linéaire nulle entre multitangentes de poids différents.

Conjecture 4:

Il n'existe pas de $\mathbb{Q}\text{-combinaison linéaire nulle entre multizêtas de poids différents.$

Conjecture 4':

Il n'existe pas de \mathbb{Q} -combinaison linéaire nulle entre multitangentes de poids différents.

Remarque:

- $(\mathcal{T}e^k)_{k\in\mathbb{N}^*}$ est une famille libre.
- 2 Toute multitangente non nulle est transcendante.

Relations entre les différentes conjectures.

Second liens entre MZVs et MTGFs

Pas de ℚ-combinaison nulle entre MZVs

Pas de ℚ-combinaison nulle entre MTGFs

Second liens entre MZVs et MTGFs

Pas de ℚ-combinaison MZVs de poids différents.

Conclusion.

Les invariants	holomorphes	sont	certes	couteux	mais	parfaitement	calcu-
lables.							

 Ils suggèrent d'intéressantes questions arithmétiques, tant sur les multitangentes et sur les multizêtas que sur les relations des premiers aux seconds.